

Fig. 65. — Porphyroblastes de biotite aplatis dans la schistosité et à clivages obliques à la schistosité. On remarque les traînées rectilignes d'inclusion de quartz orientées selon la schistosité et les « queues » de cristallisation très développées (lame perpendiculaire à la schistosité,  $\times 32$ ). Cambrien inférieur au SE de Sarria.

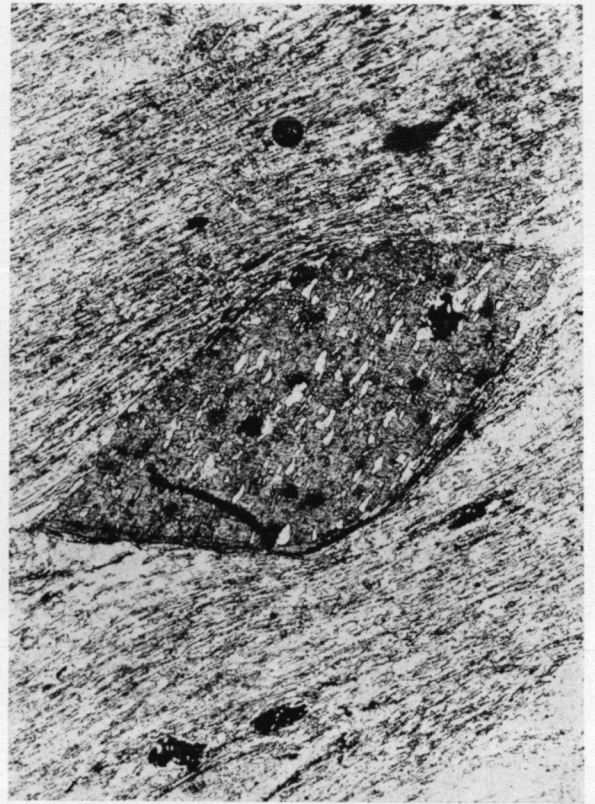


Fig. 66. — Porphyroblaste de biotite à clivages obliques à la schistosité et lui-même aplati dans la schistosité. On remarque les traînées d'inclusions quartzieuses rectilignes obliques à la schistosité externe qui montrent que le cristal a subi une rotation pendant le plissement (lame perpendiculaire à la schistosité,  $\times 50$ ).

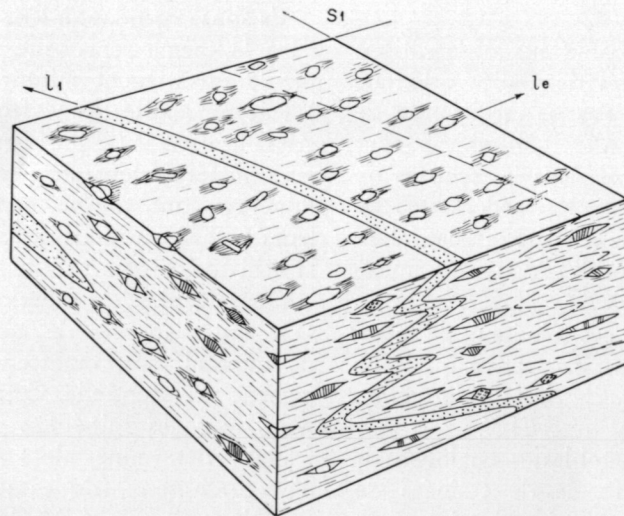


Fig. 67. — Bloc diagramme illustrant les relations les plus fréquentes entre linéations d'étirement et linéations d'intersection dans le pli couché de Mondoñedo-Lugo-Sarria.